



Universidad Autónoma de Santo Domingo

PRIMADA DE AMERICA  
Fundada el 28 de octubre de 1538

Facultad de Ciencias

Centro Nacional de Sismología

“Año del Rediseño Curricular por Competencias y Consolidación de la Educación Virtual”



## INFORME PRELIMINAR DE SISMO SENTIDO

Lunes 01 de septiembre de 2025, 09:27:36 GMT

Lunes 01 de septiembre de 2025, 05:27:36 A.M. (fecha y hora local)



En la mañana del **lunes 1 de septiembre de 2025**, a las **09:27:36 GMT (05:27:36 a.m. hora local)**, se registró un evento sísmico de magnitud **4.6 Mw**, localizado en las coordenadas latitud **18.795°** y longitud **-69.649°**, con una profundidad de **90.5 km**. El epicentro se ubicó aproximadamente a 4.7 km al NNO de Bayaguana en la provincia de Monte Plata.

Dado el tipo de profundidad y magnitud, el sismo fue ligeramente sentido en zonas cercanas al epicentro, especialmente en Monte Plata y otras localidades del Gran Santo Domingo. Hasta el momento, no se han reportado daños materiales ni pérdidas humanas como consecuencia del evento.

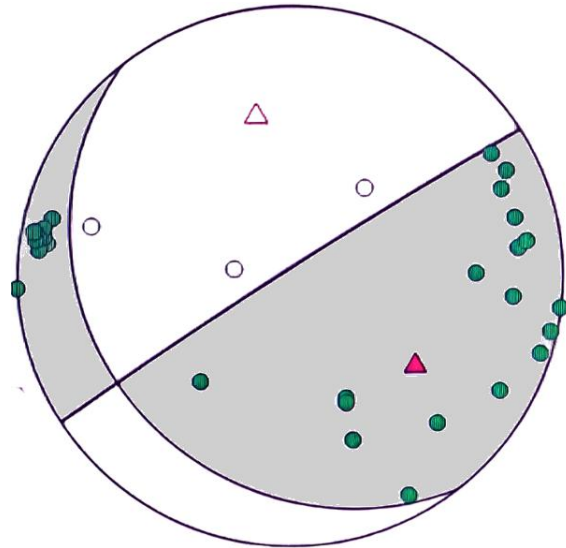
El Centro Nacional de Sismología (CNS UASD) se mantiene monitoreando la situación a través de los sistemas sismológicos nacionales e internacionales. Se recomienda a la población mantenerse informada a través de los canales oficiales.

Dicho evento presenta las informaciones técnicas leídas por nuestra red (CNS-UASD, CU, RSPR, LO) como se muestra a continuación:

STAT	SP	IPHASW	D	HRMM	SECON	CODA	AMPLIT	PERI	AZIMU	VELO	AIN	AR	TRES	W	DIS	CA27
HMDR	BZ	IP	C	927	49.77	44					159	-0.8910	28.3	92		
HMDR	BE	IS	C	927	59.77						159	-1.5410	28.3	92		
HMDR	BN	IAML		928	0.10		20245.5	0.25						28.3	92	
SDD	BZ	IP	C	927	51.25	82					147	-0.2910	46.3	218		
SDD	BE	IS	C	928	1.96						147	-0.8910	46.3	218		
SDD	BN	IAML		928	2.24		12808.0	0.30						46.3	218	
NADR	BZ	IP	C	927	52.73	63					135	-0.2010	65.5	341		
NADR	BE	IS		928	7.71						135	2.4010	65.5	341		
NADR	BN	IAML		928	8.68		52771.9	0.40						65.5	341	
LONA	EZ	IP	C	927	53.01	74					134	-0.1910	68.6	341		
LONA	EE	IS	C	928	7.68						134	1.9110	68.6	341		
SMDR	BZ	IP	C	927	52.93	75					132	-0.6410	73.2	41		
SMDR	BE	IS	C	928	7.48						132	1.0410	73.2	41		
SMDR	BN	IAML		928	10.33		10447.4	0.55						73.2	41	
CADR	BZ	IP	C	927	55.47	110					119	-0.7610	101	342		
CADR	BE	IS	C	928	11.11						119	-0.0010	101	342		
CADR	BN	IAML		928	16.49		14875.4	0.25						101	342	
ABDR	BZ	IP		927	56.68	51					119	-0.2810	103	271		
ABDR	BE	IS	C	928	12.05						119	-0.3510	103	271		
ABDR	BN	IAML		928	15.37		13082.5	0.30						103	271	
PCDR	BZ	IP	C	927	59.45	88					108	-0.6210	137	103		
PCDR	BE	IS		928	16.99						108	-0.8810	137	103		
PCDR	BN	IAML		928	20.64		3745.0	0.50						137	103	
PCDR	BZ	IP	C	927	59.45	88					108	-0.6210	137	103		
PCDR	BE	IS		928	16.99						108	-0.8810	137	103		
PCDR	BN	IAML		928	20.64		3745.0	0.50						137	103	
SDDR	BZ	IP	C	928	5.74	77					101	1.4610	174	277		
SDDR	BE	IS	C	928	25.83						101	0.5410	174	277		
SDDR	BN	IAML		928	31.08		5776.0	0.75						174	277	
PODR	BZ	IP	C	928	5.43	98					100	-0.4210	186	248		
PODR	BE	IS	C	928	27.87						100	-0.1710	186	248		
PODR	BN	IAML		928	32.77		5473.4	0.85						186	248	
LONE	EZ	IP	C	928	5.91	93					99	-0.5210	192	264		
LONE	EE	IS	C	928	29.98						99	0.9110	192	264		
LODU	EZ	IP	C	928	7.34	95					98	0.3310	199	256		
LODU	EE	IS	C	928	30.74						98	0.6510	199	256		
LOBH	EZ	IP	C	928	11.44	120					96	0.3510	234	244		
LOBH	EE	IS	C	928	38.07						96	0.8110	234	244		
JIDR	BZ	IP		928	11.32	149					96	0.1510	235	262		
JIDR	BE	IS	C	928	36.70						96	-0.7010	235	262		
PEDR	BZ	IP		928	11.84	121					96	0.5410	236	249		
PEDR	BE	IS		928	37.24						96	-0.4010	236	249		
PEDR	BN	IAML		928	45.02		1147.5	0.35						236	249	
MCDR	BZ	IP	C	928	11.81	133					95	-0.3310	243	300		
MCDR	BE	IS		928	38.30						95	-0.8210	243	300		
MCDR	BN	IAML		928	49.50		4876.3	0.65						243	300	
AGPR	BZ	IP	C	928	15.00	103					94	-0.2710	270	97		
AGPR	BN	IAML		928	54.95		2443.8	0.32						270	97	
CRPR	BZ	IP	C	928	16.35	149					94	-0.5110	284	107		
CRPR	BE	IS	C	928	47.22						94	-0.2110	284	107		
CRPR	BN	IAML		928	56.40		1170.6	0.84						284	107	
MLPR	BZ	IP	C	928	17.57	145					94	0.0510	290	108		
MLPR	BE	IS		928	47.76						94	-0.8310	290	108		
AOPR	BZ	IP	C	928	21.35	114					93	1.5010	310	99		
AOPR	BE	IS	C	928	52.54						93	-0.1510	310	99		
AOPR	BN	IAML		929	2.49		4189.3	0.36						310	99	
CELP	BZ	IP	C	928	24.32	118					93	1.6410	334	103		
CELP	BE	IS	C	928	58.94						93	1.2810	334	103		
GRTK	BZ	IP	C	928	21.71	141					93	-1.4010	338	333		
GRTK	BE	IS		928	56.48						93	-1.9410	338	333		
GRTK	BN	IAML		928	57.28		1964.7	0.65						338	333	

El mecanismo focal del evento corresponde a una falla inversa de la zona de subducción entre la placa de Norteamérica y el bloque central de la isla La Española. Las posibles soluciones focales se presentan en la siguiente tabla de planos nodales:

Plane	Strike	Dip	Rake
NP1	142°	23°	174°
NP2	237°	88°	67°



#### Observaciones:

- La profundidad del sismo sugiere que está asociado a procesos tectónicos en la placa de subducción que afecta la isla La Española.
- La magnitud de 4.6, aunque moderada, puede causar vibraciones perceptibles por la población, especialmente en edificios altos o zonas con suelos blandos.
- No se esperan réplicas significativas, aunque no se descartan completamente.

*Informe técnico elaborado por Lic. Perla Maldonado, Analista de Datos Sísmicos*

**Sección de análisis CNS – UASD**

Revisado por: Mtro. Ramón Delanoy, MSc. *Director*

Fecha: 01/09/2025